硝、铵态氮肥对旱地土壤氧化亚氮排放的影响

梁东丽¹,方日尧¹,李生秀¹,Ove Emteryd²,张兴昌¹

(1.西北农林科技大学资源环境学院, 陕西 杨凌 712100; 2.瑞典农业大学森林生态系, 瑞典 字默奥 90183)

摘 要: 用静态箱法在田间研究了黄土性土壤不同水分条件下施用硝态氮肥和铵态氮肥后土壤 N₂O 的排放特点,并对包括温度 $_{\mathbf{p}}$ H、水分等因子的影响进行了探讨。结果表明:在水分含量为田间持水量的 90%和 70%的条件下,铵态氮肥处理土壤的平均 N₂O 排放量分别为 233.6±165.4 $_{\mathbf{tg}}$ /($_{\mathbf{m}}$ ² h) 和 166.4±153.3 $_{\mathbf{tg}}$ /($_{\mathbf{m}}$ ² h);而施用硝态氮肥时则仅为 75±40.2 $_{\mathbf{tg}}$ /($_{\mathbf{m}}$ ² h) 和 49.27±17.0 $_{\mathbf{tg}}$ /($_{\mathbf{m}}$ ² h)。施肥后短期内,铵态氮肥排放的 N₂O 量显著高于硝态氮肥处理,由此可说明黄土性土壤表层土壤 N₂O 的主要来源是土壤氮的硝化过程。在自然矿化条件下黄土性土壤 N₂O 的排放量约为 17.0 $_{\mathbf{tg}}$ /($_{\mathbf{m}}$ ² h)。如果把两个水分处理相比较,土壤水分对铵态氮肥处理土壤 N₂O 的排放影响不明显,而对施用硝态氮肥的土壤有明显影响,高水分处理更利于土壤反硝化作用的进行从而增加了土壤 N₂O 的排放量。施用不同肥料种类在施肥后短期内影响土壤的 PH 值和有效 NO₃ —N、NH + —N 含量,而反过来土壤水分含量、土壤 PH 以及土壤温度均不同程度地影响着土壤 N₂O 的产生和排放。

关键词: 铵态氮肥;硝态氮肥;N₂O 排放;田间持水量;硝化作用;反硝化作用 中图分类号: S_{158.3} 文献标识码: A 文章编号: 1000-7601(2007)01-0067-06

 N_2O 的排放量与施入土壤的有机及无机氮肥种类有关 $^{7.8}$,肥料类型是影响反硝化作用的重要因子 9 ,许多实验都证实 N_2O 的排放量取决于施入土壤 NO_3 $^-$ 和 NH_4 $^+$ 的有效性 10,11 。在一些情形下,来自于 NH_4 $^+$ 或者尿素处理的 N_2O 排放量显著超过 NO_3 $^-$ 处理 12 ; 也有无论种植作物与否,施用 KNO_3 处理的 N_2 和 N_2O 排放量高于尿素和硫酸铵处理的报道 13 ; Velt hofet $^{[14]}$ 在草地施入铵态氮肥和硝态氮肥后观察到 N_2O 气态损失量接近。由此可见,肥料种类对 N_2O 排放的影响至今尚无定论。本文就不同田间条件水分条件下施入硝态氮肥和铵态氮肥后 N_2O 排放的影响进行探讨,旨在为搞清黄

土性土壤 N 2O 的主要来源, 采取针对性措施减少氮素损失提供理论依据。

1 材料与方法

试验在国家黄土肥力和肥料试验站进行, 供试土壤的基本农化性状为试验地 $0\sim200\,\mathrm{cm}$ 土体土壤物理性粘粒高于 $230\,\mathrm{g}\,\mathrm{kg}$; $0\sim20\,\mathrm{cm}$ 土壤有机质含量是 $8.363\,\mathrm{g}\,\mathrm{kg}$, 全氮为 $1.573\,\mathrm{g}\,\mathrm{kg}$, NO3-N 为 $3.97\,\mathrm{mg}\,\mathrm{kg}$, 速效磷含量为 $12.5\,\mathrm{mg}\,\mathrm{kg}$, 速效钾含量为 $129.7\,\mathrm{mg}\,\mathrm{kg}$, pH8.24。

1.1 试验方案

田间小区为 $5 \text{ m} \times 5 \text{ m}$ 水泥池(深度 1.2 m),试验共设 6 个处理,肥料处理分为铵态氮肥(尿素)和硝态氮肥(硝酸钾)两个处理,水分处理包括 70% WHC(硝化作用和反硝化作用最大速率的水分含量水平) $[^{15]}$ 和 90% WHC(利于反硝化作用的进行)两个水平。试验处理为:(1)硝态氮肥低水分处理(以下简称为 $NO_3^--N\log$);(2)硝态氮肥低水分处理(NO $_3^--N\log$);(3)铵态氮肥低水分处理($NH_4^+-N\log$);(4)铵态氮肥高水分处理($NH_4^+-N\log$);(5)对照低水分处理(\log);(6)对照高水分处理(\log);(5)对照低水分处理(\log);(6)对照高水分处理(\log);(5)对照低水分处理(\log);(6)对照高水分处理(\log);(5)对照低水分处理(\log);(6)对照高水分处理(\log);(6)对照高水分处理(\log);(6)对照高水分处理(\log)。重复 4次。氮肥的施用量为 $240\log$

收稿日期:2005-12-30

基金项目:国家自然科学基金重点项目(30230230);国家科技攻关项目(2002BA 516A 02);中瑞国际合作项目作者简介:梁东丽(1963 一),女,副教授,博士,研究方向为土壤环境化学和环境监测。

1.2 试验方法

田间试验的方法为:试验前整好地,按照水分处 理浇水分别至 40%和 60%WHC(田间持水量) 水平 (供试土壤的田间持水量按26%计),让地面水分保 持这个水平 5~7d,以便土壤中微生物对环境条件 产生适应性。试验开始时,按照处理将肥料溶解于 水溶液中,然后用洒壶均匀将水洒在地表,加入水量 为 $100 \, \text{mm}$ (相当于降水量为 $100 \, \text{mm}$), 然后用耙子 轻轻松动表面土层 $2\sim3$ 次,并在浇水后 6h, 12h, 24h,36h,48h.....分别用16L的密闭气室法测定 土壤 N₂O 的通量(用密闭气室法),直至 N₂O 排放 量趋于稳定。每次测定气体样品时,密闭气室后分 別在 $0 \min$, $30 \min$ 和 $60 \min$ 用 $2 \min$ 气密性注射器 采集土壤气体样品,每个处理各个重复各有2个密 闭气室,试验共持续 20d,测定 N_2O 逸出量 24 次。 N₂O 的通量可用 Hut chi nso 和 Moiser 方程 ¹⁶ 计算 浓度随时间的变化,以校正随气室中气体累积而引 起土壤中N2O浓度梯度的下降。

与此同时采集 $0\sim5$ cm, $5\sim10$ cm, $10\sim20$ cm 土壤样品,每个小区取样 2 个点,分别测定土壤 NH_4^+-N , NO_3^--N ,pH,土壤水分含量。每次采集土壤气体的同时测定 5 cm, 10 cm, 15 cm, 20 cm 各个土层土壤温度。

1.3 样品分析

1.3.1 气体样品的采集和分析 气体样品用 2 ml 注射器抽取,用丁基橡胶堵住针眼及时分析。我们

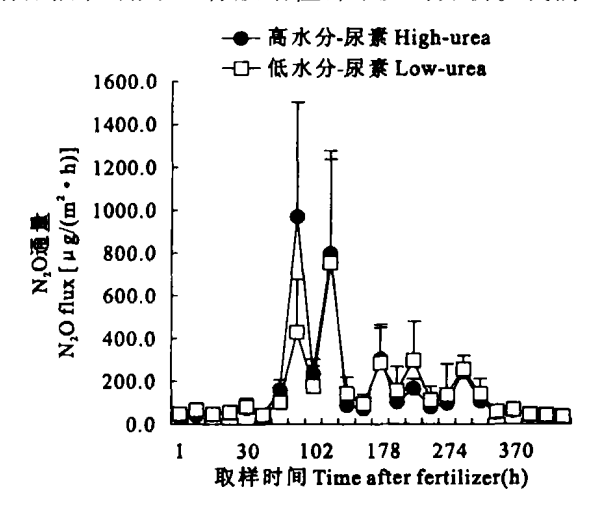


图 1 施入尿素后土壤 N₂O 通量的变化

Fig. 1 N₂O flux variation of soil after applied urea

由图 1 可见:在施入尿素后 48 h 内,土壤 N 20 排放量变化不大,均在 $36.52 \sim 75.1$ $lg/(m^2 \cdot h)$ 范围内波动,随着土壤硝化速率增加 见土壤 NO 3^- N 、NH $_4^+$ 一N 变化部分),再加上 54 h 后本地区有

曾对注射器的气密性进行了检验,方法是用注射器抽取已知浓度的 $N_{2}O$ 标准气放置不同时间后测定 $N_{2}O$ 浓度并与标准值比较,结果表明在取样后 6 h 内样品的测定结果几乎无差异, 24 h 后气体损失 20%(数据未给出)。分析仪器是美国产 Varian GC 3800 气相色谱,检测器为含 63 Ni 的电子捕获器 (ECD),柱子为porapak R 80/100,并为 $N_{2}O$ 测定专门配置一个气阀(以阻断 2 min 前和 2.8 min 后的气体进入检测器),载气为高纯氮,气流速度为 10 ml/min。标准气为北京产 9.6 ml/L $N_{2}O$,另外用瑞典产浓度为 328.2 ul/L 的标准气体进行校正,样品稀释用 99.999%的高纯氮气。气相色谱测定 $N_{2}O$ 的变异系数小于 5%。

2 结果与分析

2.1 施用铵态、硝态氮肥后土壤 N₂O 的排放

图 1 及图 2 分别为施入硝态氮肥 硝酸钾) 和铵态氮肥 尿素) 后土壤 N 20 排放情况的变化。

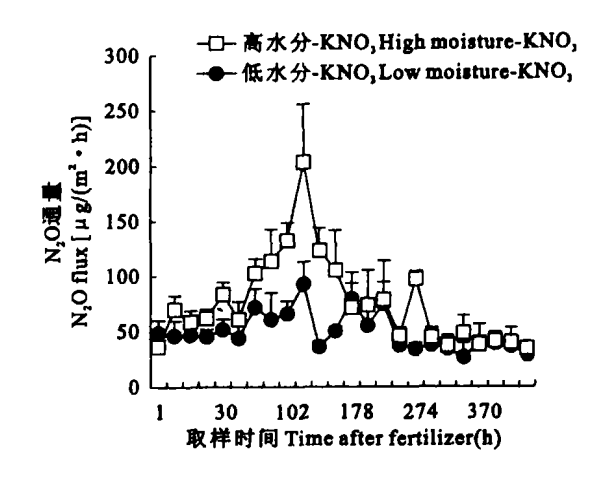


图 2 施入硝态氯肥后土壤 N₂O 通量的变化

Fig. 2 N₂O flux variation of soil after applied KNO₃

一次较大的降水,此后 N_2O 排放量急速上升。在降水8h 后 N_2O 测定值在低、高水分处理分别为 969.4 l_3 /($m^2 \cdot h$) 和 427.9 l_3 /($m^2 \cdot h$),而后 N_2O 排放通量持续较高并随温度变化出现一定的波动

(C)1994-2023 China Academic Journal Electronic Publishing House. All rights reserved. http://www.cnki.net

(图 4),直至施肥后 322 h 亦即 14 d 时才逐渐回落到施肥时 N 2O 排放的水平。已有研究表明,在温度 25℃,水分条件为田间持水量的 60%时,黄土性土壤上铵态氮肥的硝化作用可在 8~10 d 内完成 ¹⁷。本研究因在田间条件下进行,温度条件无法控制,因而硝化作用持续的时间延长。两个水分处理相比较,除在降水后的这一次低水分处理测定结果较高外,其余时间两个水分处理间 N 2O 排放量间的差异不显著。

由图 2 可见, 在施入硝态氮肥后, 低水分处理的 N₂O 排放量在前 48 h 基本相当, 波动范围为 44.0 ~51.5 /g/(m²·h), 而高水分处理的 N₂O 排放量相对较高且波动范围较大为 36.46~83.5 /g/(m²·h)。在施肥 54 h 伴随降水后, 两个水分处理的 N₂O 排放量均呈现急速上升的趋势, 且最高排放量出现在降水 48 h 后, 即 N₂O 排放高峰在水分因子后有一定的滞后 ¹⁸, 高、低水分处理 N₂O 的排放量分别为 203.3 /g/(m²·h) 和 92.8 /g/(m²·h), 此后随土壤水分含量的逐渐下降 N₂O 排放量迅速下降, 但高水分处理土壤 N₂O 排放量均高于低水分处理。

在硝化过程完成后,施用硝态氮肥和铵态氮肥排放的 $N_{2}O$ 均来源于土壤 NO_{3}^{-} —N 的反硝化过程和土壤本身的矿化过程,因此比较两个肥料种类在施肥后转化过程中排放量的差异就可反映出肥料种类对排放量的影响。两个肥料种类相比较,施用铵态氮肥时高、低水分处理的 $N_{2}O$ 平均排放量分别为 233.6 ± 165.4 $l_{3}/(m^{2}\cdot h)$ 和 166.4 ± 153.3 $l_{3}/(m^{2}\cdot h)$;而硝态氮两个水分处理的平均排放量则分别为 75 ± 40.2 $l_{3}/(m^{2}\cdot h)$ 和 49.27 ± 17.0 $l_{3}/(m^{2}\cdot h)$ 。

如果把图 1 和图 2 结合起来考虑,就不难看出,供试土壤施入铵态氮肥后 N 2O 排放量高且持续时间较长,亦即硝化作用过程中产生较高量的 N 2O 排放;而施入硝态氮肥后 N 2O 排放呈现显著的瞬间排放特点,其排放量低且持续时间较短,这是因为黄土性土壤表层土壤疏松,利于通气;土表对水分的蒸发,降低了表层土壤的水分含量,增大了充气空间,增加了氧气含量:这两方面都不利于反硝化作用进行,再加上疏松的表层也便于气体交换,产生的 N 2O 气体易于向大气扩散,进一步降低了它的浓度,因而施入硝态氮肥后 N 2O 排放量的减少也就不难理解 ¹⁹。由此可推测黄土性土壤上表层土壤 N 2O 的主要来源为土壤的硝化过程。

2.2 **自然矿化条件下黄土性土壤 N 2O** 排放量

两个水分处理对照区土壤在试验期间 N 2O 排。

放情况见图 3。

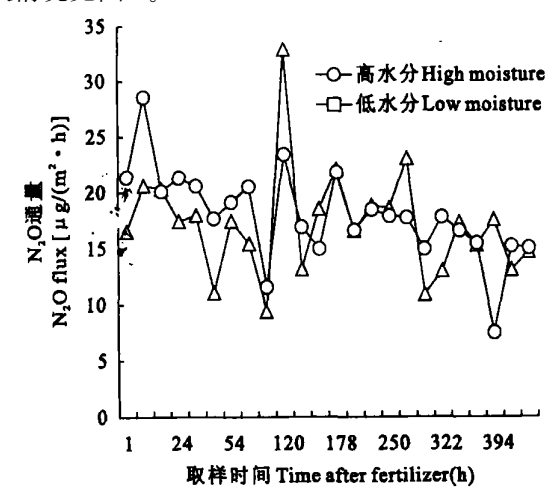


图 3 两个水分处理基础土壤 N₂O 通量的变化 Fig · 3 N₂O flux variation of control plot with different soil moisture

由图 3 可见:很明显在试验开始时,高水分处理的 N_2O 排放量高于低水分处理,但在试验中出现降水后,两个处理的 N_2O 排放量基本接近,整个试验期间高水分处理和低水分处理的 N_2O 平均排放量分别为 16.70 ± 3.7 $l_{\rm fg}/({\rm m}^2\cdot{\rm h})$ 和 17.97 ± 4.2 $l_{\rm fg}/({\rm m}^2\cdot{\rm h})$,基本接近,也就是说在自然矿化条件下,与土壤水分条件关系不大,黄土性土壤 N_2O 的排放量为 17.0 $l_{\rm fg}/({\rm m}^2\cdot{\rm h})$ 〔相当于 1.5 $l_{\rm fg}/({\rm hm}^2\cdot{\rm a})$ 〕。如果把对照处理与施肥处理相比较就不难发现,施肥显著地增加了土壤 N_2O 的排放量,且排放量的变异也相应增大。

2.3 影响 N 2O 排放的因子

土壤微生物控制的硝化和反硝化过程是土壤 N₂O 的重要来源,因此土壤温度、水分、pH 值及土壤无机态氮的水平均影响到 N₂O 的产生和排放;同时施入土壤的铵态氮肥在水解和硝化过程中又改变着土壤pH 值及土壤无机态氮的水平,后者又依次影响着土壤 N₂O 的排放。

2.3.1 温度 温度对土壤微生物活性有重要的影响,通常认为:硝化菌和反硝化菌最适生长的温度在25℃~35℃之间,如果不存在其它环境因素的限制,在一定的温度范围内,其生长代谢能力随温度上升而增强。

整个试验期间表层土壤的平均气温为 22.9℃,最高和最低气温分别为 36.0℃和 10.0℃,温度差异悬殊。其中以上午测定时土壤温度最低,中午或者下午测定时温度较高,与此相一致,下午测得的

N₂O 通量显著高于上午的测定值。土壤剖面中不

同土层的温度以表层土壤变化最大,其余各层土壤温度的变异随土层深度增加而减小(如图 4 所示)。很明显,当水分条件相同时,施肥处理土壤 N 2O 排放量防土壤温度的上升而增加,但因为 N 2O 排放还与土壤物理、化学影响因子相联系,因而很难得到土壤温度与 N 2O 排放量间的相关关系。而不施肥处理,在试验的第 250 h 时,高、低水分处理 N 2O 排放量与同时期 $0\sim5$ c m 土层温度的相关系数分别为 0.6401 和 0.5122,均达到 1% 的显著性检验水平。试验结束前的低水分处理第 394 h 前测定的 N 2O 通量与同期土壤表层温度达到 5% 显著性检验水平(1%, $_{7}=0.4348$; 5%, $_{7}=0.413$),由此可见土壤温度对自然矿化状态下的土壤 N 2O 排放起着决定性作用。

2.3.2 土壤pH pH 3~8 范围内, 随pH 升高, 硝化速率和反硝化速率均提高。硝化微生物对酸度较敏感, 硝化作用的最佳pH 为8。反硝化微生物适宜

的pH 值范围虽宽($5\sim8$) ,而最佳pH 值则因微生物种类及土壤NO $_3$ ⁻浓度的不同而异 20 ,对绝大多数反硝化微生物而言以pH $6\sim8$ 为最佳。

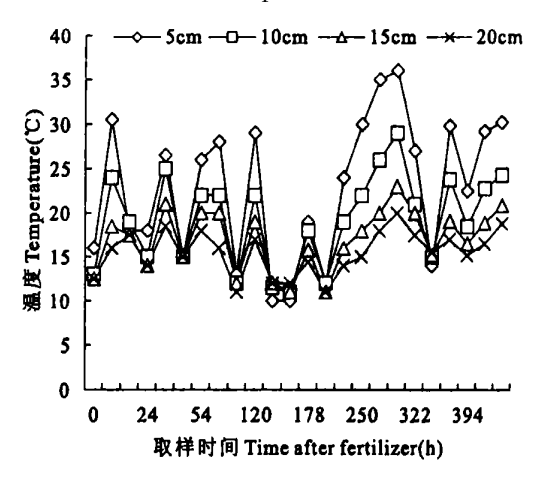


图 4 试验期间土壤温度的变化

Fig. 4 Soil temperature variation during experimental period of different soil layers

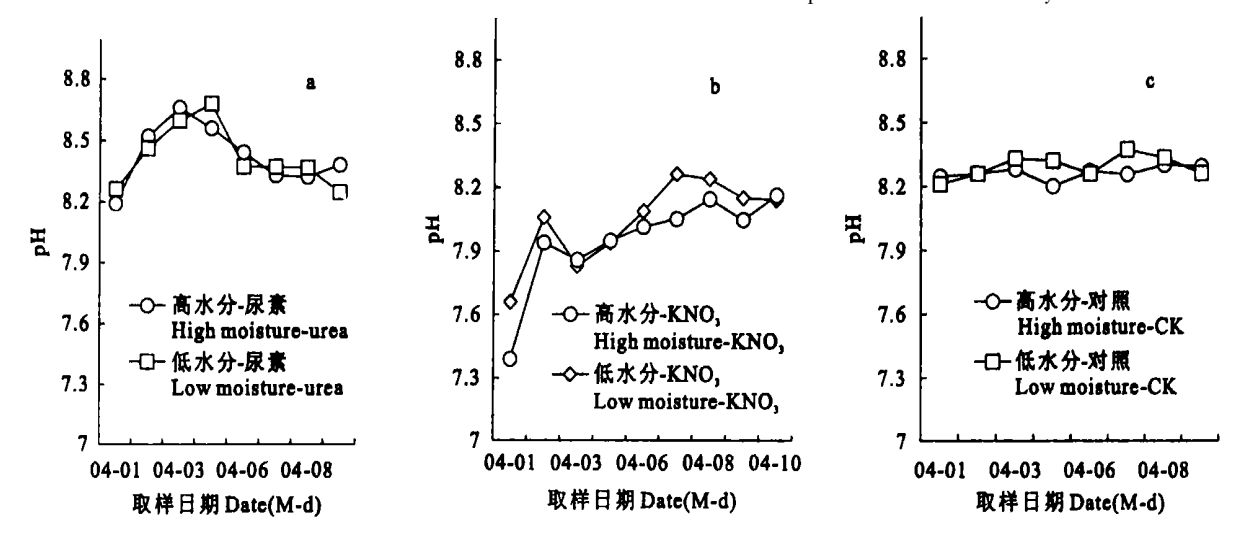


图 5 试验期间各个处理土壤pH 值的变化

Fig. 5 Soil pH changes during the test period of different treat ments

由图 5a 可见,在施入铵态氮肥尿素后,由于碱性的尿素肥料首先发生水解作用,致使在短期内土壤pH 迅速上升,在施肥 3 天后达到最大值,而后随土壤硝化作用的进行,土壤pH 逐渐下降,在施肥后大约 9 天后达到供试土壤正常的pH 水平;两个水分处理相比较,其pH 变化基本接近。与此相反,图 5b 则显示出,供试土壤在施入硝态氮肥后,土壤pH 急速下降,高水分含量处理和低水分含量处理土壤起始pH 分别为 7.39 和 7.66,而后随肥料在土壤的溶解作用以及土壤反硝化作用的进行,土壤pH 逐渐增加,并大约在施肥 1 周后达到供试土壤正常的pH 水平,且水分含量高时土壤pH 略高于水分含量

大,基本波动在 $8.21\sim8.37$ (图 5.20),且高水分含量处理的波动范围略高于低水分处理。

2.3.3 土壤水分含量 水分是影响 O₂ 及其它气体的有效性及扩散率、易溶性物质的有效性以及微生物活动 ²¹ 的关键因子,因此其通过控制硝化及反硝化微生物的活性和合成而控制硝化速率 ²³ 和反硝化速率 ²³ 。水分含量还影响到土壤碳和氮的矿化 ²³ ,所有这些因素又都影响到 N₂O 的排放量。

试验期间土壤水分变化情况见图 6。由图 6 可见,试验期间高水分处理的土壤水分含量始终高于低水分处理土壤的水分含量,试验开始时高、低水分处理土壤含水量分别为 23.6%和 18.6%,而后

低的处理。对照处理两个水分水平间pH。值变化不则,随上表蒸发,上壤含水量逐渐下降,但在第4天降水,

后,两个处理的土壤含水量分别上升为 28.2%和 26.9%,而后土壤含水量随土壤蒸发损失又逐渐回 落,到试验进行的第20天,高、低水分两个处理的土 壤含水量分别下降为 15.4%和 14.8%。与此相对 应无论是硝态氮处理或者是铵态氮肥处理均出现土 壤 N₂O 排放高峰, 然后 N₂O 的排放量也逐渐下降。 2.3.4 土壤 $NO_3^- - N$ 和 $NH_4^+ - N$ 的变化 然在试验过程中,我们在测定土壤水分和气体通量 的同时也对 $0 \sim 5_{cm}$, $5 \sim 10_{cm}$, $10 \sim 20_{cm}$ 土壤 NH_4^+ —N、 NO_3^- —N 含量进行了测定,但由于本试 验为田间试验,再加上施肥深度的影响,因而在施用

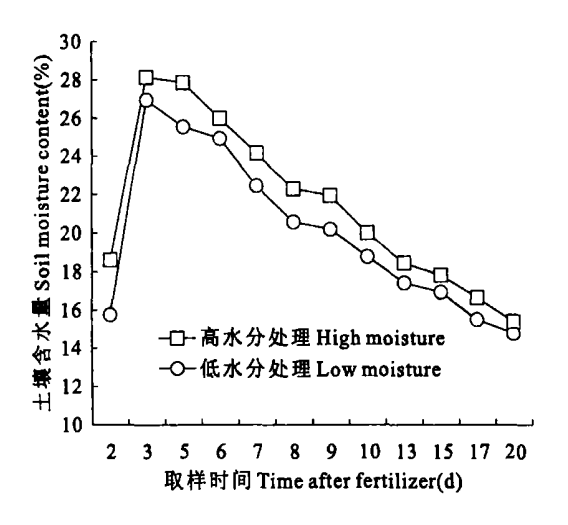


图 6 试验期间土壤水分变化

Fig. 6 Soil moisture change during experimental period for two water treatments

结论

在水分含量为田间持水量的90%和70%的水 分条件下, 铵态氮肥处理的 N₂O 平均排放量分别为 233.6 \pm 165.4 $\mu_{
m J}$ /(${
m m}^2$ • h) 和 166.4 \pm 153.3 $l_q/(m^2 h)$;施用硝态氮肥时两个水分处理 N₂O 排 放量分别为 $75\pm40.2~$ /**g** /(\mathbf{m}^2 •h) 和 49.27 ± 17.0 $\mu_{\rm g}/({\rm m}^2{\rm h})$ 。施肥后短期内,随土壤铵态氮硝化作用 的进行, 铵态氮肥 N 2O 的排放量急速上升, 而后随 硝化过程的完成,N₂O 排放量逐渐下降,由此可推 测黄土性土壤表层土壤 N₂O 的主要来源是土壤氮 的硝化过程。黄土性土壤中施用铵态氮肥排放的 N₂O 量高于硝态氮肥。在自然矿化条件下黄土性 土壤 $N_{2}O$ 的排放量约为 $17.0 \text{ Hg/(m}^2 \cdot \mathbf{h})$ 。如果把 两个水分处理相比较,土壤水分处理对施用铵态氮 肥处理土壤 N₂O 的排放影响不明显, 而对施用硝态 氮肥的土壤, 高水分处理更利于土壤反硝化作用的 进行、从而增加了土壤N2Od的排放量。al Electronic Publishing nission as affected by changes in soil water content and nitrogener

铵态氮肥处理,我们仅得到 $0\sim5$ cm 土壤 NH_4^+-N 含量逐渐下降, 而 NO3 - N 含量的逐渐升高的曲 线 图 7, 但是对 $5\sim10_{\rm cm}$ 以及 $10\sim20_{\rm cm}$ 土壤却 无法得到在实验室条件下进行硝化作用时那种完美 曲线 数据未给出)。由图7可见,在供试土壤的田 间条件下,铵态氮肥从第4天开始急速的硝化过程, 表现为土壤 NH_4^+ —N 含量的迅速下降以及 NO_3^- —N 含量的显著上升。如果把图 1 与图 7 结合起来就不 难看出,施用铵态氮肥后 N₂O 急速排放期与土壤硝 化过程的急剧发生相一致,以及施用铵态氮肥后排 放的 N₂O 主要来源于土壤的硝化过程。

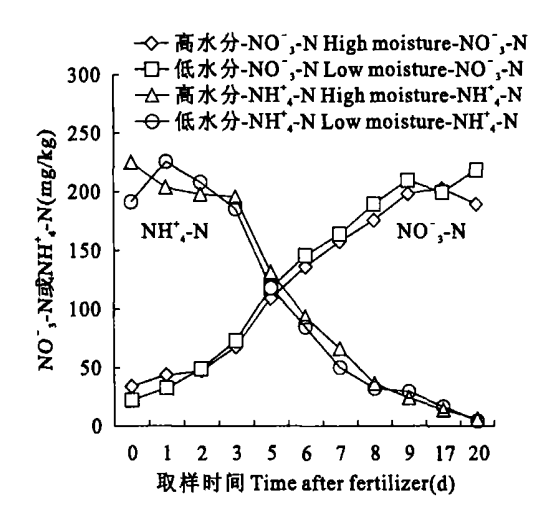


图 7 施用尿素后土壤 NH4+-N 和 NO3--N 的变化

Fig. 7 Soil NH₄ + - N or NO₃ - N changes after applied urea for two water treatments

本试验是在休闲条件下进行的,当有作物生长 时,作物通过下列作用影响到土壤微生物的活动,进 而影响土壤的硝化和反硝化作用以及N₂O的释放。 根系分泌物对土壤微生物活动的刺激;作物根系活 动消耗O₂,从而改变微区的土壤pH;作物生长吸 收土壤中无机氮和水分;根系生长对土壤结构的影 响,形成大孔隙有利于气体的排放。因此有必要对 田间作物生长条件下施用硝、铵态氮肥后N2O的排 放情况进行详细监测。

参考文献:

- Vitousek P M , Aber J D , Ho warth R W , et al · Hu man alteration of the global nitrogen cycle: Sources and consequences [J] · Eco Appl , 1997,7:737-750.
- Bouwman A F · Direct emissions of nitrous oxide from agricultural $\mathbf{soils[J]} \cdot \mathbf{Nutr} \cdot \mathbf{Cycl} \cdot \mathbf{Agroecosyst} \cdot 1996, 46 \underbrace{.53 - 70}.$
- Granli T, Bockman O C. Nitrous oxide from agriculture [J]. Norw Jour of Agri Sci , 1994, 12:120-128.
- Birgit W Hutsch, Xiaozhi Wang, Ke Feng, et al. Nitrous oxide

- fertilizer[J] · J Plant Nutr Soil Sci , 1999, 162, 607—613.
- [5] Flessa H, Pfau W, Dorsch P, et al. The influence of nitrate and ammonium fertilization on N2O release and CH4uptake of a well drained topsoil[J]. Z Pflanzenernaehr Bodenkd, 1996, 159, 499— 503.
- [6] Aulakh MS, Doran J W, Mosier AR. Soil denitrification significance, measurement, and effects of management[J]. Advances in soil science, 1992, 18—57.
- [7] Corre M D. Van Kessel C. Pennock D J. et al. Ambient nitrous oxide emissions from different landform complexes as affected by stimulated rainfall [J]. Commun Soil Sci Plant Anal., 1995, 26; 2279—2293.
- [8] Kaiser E A, Kohrs K, Kucke M, et al. Nitrous oxide release from arable soil importance of potential forage crops[J]. Biol Fertil Soil, 1998, 28, 36—43.
- [9] Sanchez L, Diez J A, Vallejo A, et al. Denitrification losses from irrigated crops in central Spain[J]. Soil Biol Biolchem, 2001, 33: 1201-1209.
- [10] Weier K. L., Doran J. W., Power J. F., et al. Denitrifictation and the dinitrogen / nitrous oxide ratio as affected by soil water, available carbon, and nitrate[J]. Soil Sci. Soc. Am. J., 1993, 57; 66-72.
- [11] Skiba, U Smith, K A. Fowler D. Nitrification and denitrification as sources of nitric oxide and nitrous oxide in a sandy loam soil[J]. Soil Biol Biolchem, 1993, 25:1527—1536.
- [12] Mulvaney R L, Khan S A, Mulvaney G S. Nitrogen fertilizer promote denitrification [J]. Biol Fertil Soils, 1997, 24: 211— 220.
- [13] Buresh R J, Austin E R. Direct measurement of dinitrogen and nitrous oxide in flooded rice fields[J]. Soil Sci Soc Am J, 1988, 52.681—688.

- 14 Velthof G. L., Oene ma. O., Post ma. R., et al. Effect of type and a mount of applied nitrogen fertilizer on nitrous oxide fluxes from intensively managed grassland [J]. Nutrient Cycling in Aquiecosystem., 1997, 46:257—267.
- [15] Aulakh MS, Doran DT, Walters AR, et al. Crop residue type and placement effects on denitrification and mineralization [J]. Soil Sci Soc AmJ, 1991, 55:1020-1025.
- [16] Hutchinson G L , Mosier A R \cdot I mporved soil cover method for field measurement of nitrous oxide fluxes[J] \cdot Soil Sci Soc Am J , 1981, 45; 311—316.
- [17] 同延安,Emteryd O, 吕殿青, 黄绵土与黄泥巴的硝化作用及 氮损失与铵固定 J]. 西北农业学报,1999.8 6):58-64.
- [18] 梁东丽,同延安,Ove Enteryd,等.灌溉和降水条件下旱地 N₂O 气态损失J].植物营养与肥料学报,2002,&(3):298— 302.
- [19] 梁东丽,同延安,Ove Enteryd,等·黄土性土壤土壤剖面中 N₂O 气态损失的研究初报J].土壤学报,2002,38(6):802-809.
- [20] Del wiche C.C., Bryan B.A. Denitrification · Annu[J] · Rev · Mi crobiol , 1976, 30, 241-262.
- [21] Linn D M, Doran J W. Effects of water filled pore space on carbon dioxide and nitrous oxide production in tilled and non tilled soils[J]. Soil Sci Soc Am J, 1984, 48:1267—1272.
- [22] Mac Duff J H, White R E. Net mineralization and nitrification rates in a day soil measured and predicted in permanent grassland from soil temperature and moisture content [J]. Plant and Soil, 1985, 86, 151-172.
- [23] Keeney D R, Fillery I R, Marx G P. Effect of temperature on the gaseous nitrogen products of denitrification in a silt loam soil [J] · Soil Science Society of America Journal , 1979, 43: 1124— 1128.

Effects of nitrogen types on N2O emissions of dry land soil

LI ANG Dong hi 1, FANG Ri yao 1, LI Sheng xiu 1, Ove Emteryd 2, ZHANG Xin chang 1 (1. College of resources and environment, NWUAF, Shaanxi Yangling, 712100;

2. Depart ment of forestry ecology, Sweden Agriculture University, Sweden, Umea, 90183)

Abstract: Based on field experiment the effects of nitrogen fertilizer types on N ${}_2O$ emissions and influential factors were studied under two different soil water conditions on the loess soil. The results showed that at both 90% WHC and 70% WHC water content, the average N ${}_2O$ emissions on ammonium treated plots were 233.6 ± 165.4 ${}_1G$ /(m² h) and 166.4 ± 153.3 ${}_1G$ /(m² h), whereas those on the nitrate treated plots were 75 ± 40.2 ${}_1G$ /(m² h) and 49.27 ± 17.0 ${}_1G$ /(m² h), respectively. In the short period of fertilization, N ${}_2O$ fluxes from the ammonium plots were higher than that form the nitrate plots. Therefore, the main N ${}_2O$ sources on the surface of loess soil were from nitrification. Under the natural mineralization, N ${}_2O$ flux was about 17.0 ${}_1G$ /(m² h) on the tested soil. Soil water status had little influence on the N ${}_2O$ fluxes from ammonium plot, while it had a large effect on the nitrate plots under the experimental condition. Meanwhile, soil temperature, pH, soil water content had certain influences on N ${}_2O$ emissions.

 $\textbf{Keywords}: N_2O \ flux \ ; \ NO_3 - - N \ ; \ NH_4 + - N \ ; \ water \ \ hold \ capacity(WHC) \ ; \ nitrification \ ; \ denitrification \ ; \ denitrif$